

بالتالي فإن طيف القوة للعملية $\text{AR}(p)$ يكون :

$$p(f) = 2\sigma_e^2 \phi^{-1}(B)\phi^{-1}(B^{-1})$$

$$= \frac{2\sigma_e^2}{\phi(e^{-i2\pi f})\phi(e^{i2\pi f})} \quad 0 \leq f \leq \frac{1}{2} \quad \dots (5, 18)$$

ولأن نماذج الانحدار الذاتي ذات الرتبة 1 و 2 هي الأكثر أهمية في الواقع فستتناول خصائصها بشكل أكثر تفصيلاً في المثالين التاليين.

مثال (5, 1)

لعملية الانحدار الذاتي برتبة 1 :

$$\tilde{Y}_t = \phi_1 \tilde{Y}_{t-1} + e_t$$

حيث $-1 < \phi_1 < 1$ - كشرط للاستقرار أوجد :

(i) دالة الارتباط الذاتي .

(ii) التباين .

(iii) طيف القوة .

(1) في حالة $p = 1$ تصبح (5, 10) مع ملاحظة أن $I_k = 0$ ما لم تكن $k = 0$

$$p_k = \phi_1 \rho_{k-1} \quad k > 0 \quad \dots (5, 19)$$

هذه معادلة فروق متتجانسة من الدرجة الأولى بمعامل ثابت. حلها نضع

$$\rho_k = \beta^k$$

$$\beta^k = \phi_1 \beta^{k-1} \quad \text{إذن}$$

$$\beta^{k-1}(\beta - \phi_1) = 0 \quad \text{أو}$$

$$\beta = \phi_1 \quad \therefore$$

وبالتالي الحل العام ل (١٩) هو

$$\rho_k = c \phi_1^k$$

وباستخدام القيد $c = 1 - \rho_0$ أي أن الحل الخاص هو

$$\rho_k = \phi_1^k \quad k \geq 0$$

وهي دالة الارتباط الذاتي للعملية AR(1).

(ii) التباین

إذا وضعنا $k = 0$ في (٩، ٥) وتذكّرنا أن $\gamma_k = \gamma_{-k}$ نجد (مع وضع الملاحظة بعد (٩، ٥) في الاعتبار) :

$$\gamma_0 = \phi_1 \gamma_1 + \phi_2 \gamma_2 + \dots + \phi_p \gamma_p + \sigma_e^2$$

ويقسمة الطرفين على γ_0 وهو تباین العملية \tilde{Y} أي σ_y^2 بعد تحويل كل شيء

عدا σ_e^2 للطرف الأيسر :

$$1 - \phi_1 \rho_1 - \phi_2 \rho_2 - \dots - \phi_p \rho_p = \frac{\sigma_e^2}{\sigma_y^2}$$

أي أن التباین للعملية AR(p) :

$$\sigma_y^2 = \frac{\sigma_e^2}{1 - \phi_1 \rho_1 - \phi_2 \rho_2 - \dots - \phi_p \rho_p} \quad (٥, ٢٠)$$

وبالتالي التباین في العملية AR(1) (بوضع $\rho = 1$) :

$$\sigma_y^2 = \frac{\sigma_e^2}{1 - \phi_1 \rho_1}$$

(iii) الطيف :

من (١٨، ٥) وبوضع $\phi(B) = 1 - \phi_1 B$ نجد طيف القوة

العملية AR(1) :

$$\begin{aligned}
 P(f) &= \frac{2\sigma_e^2}{(1 - \phi_1 e^{-i2\pi f})(1 - \phi_1 e^{i2\pi f})} \\
 &= \frac{2\sigma_e^2}{1 + \phi_1^2 - \phi(Cos 2\pi f + i \sin 2\pi f e + Cos 2\pi f - i \sin 2\pi f)} \\
 &= \frac{\sigma_e^2}{1 + \phi_1^2 - 2\phi_1 Cos 2\pi f} \quad 0 \leq f \leq \frac{1}{2}
 \end{aligned}$$

مثال (٢،٥)

عملية الانحدار الذاتي ذات الرتبة ٢ :

$$\tilde{Y}_t = \phi_1 \tilde{Y}_{t-1} + \phi_2 \tilde{Y}_{t-2} + e_t$$

حيث (للاستقرار) :

$$\begin{aligned}
 \phi_1 + \phi_2 &< 1 \\
 \phi_2 - \phi_1 &< 1 \\
 -1 &< \phi_2 < 1
 \end{aligned}$$

- (i) أوجد صيغ ϕ_1 و ϕ_2 بدلالة ρ_1 و ρ_2 والعكس .
- (ii) أوجد التباين .
- (iii) أوجد طيف القوة .

(i) من معادلات يول - ووكر (١١،٥) بأخذ $p = 2$

$$\rho_1 = \phi_1 + \phi_2 \rho_1$$

$$\rho_2 = \phi_1 \rho_1 + \phi_2$$

وبحل المعادلتين آنما ϕ_1 و ϕ_2 نحصل بالترتيب على :

$$\left. \begin{array}{l} \phi_1 = \frac{\rho_1(1-\rho_2)}{1-\rho_1^2} \\ \phi_2 = \frac{\rho_2 - \rho_1^2}{1-\rho_1^2} \end{array} \right\} \quad \dots (5, 21)$$

وإذا عكسنا الأمر وحللنا المعادلين لـ ρ_1 و ρ_2 :

$$\rho_2 = \phi_2 + \frac{\phi_1^2}{1-\phi_2} \quad \text{و} \quad \rho_1 = \frac{\phi_1}{1-\phi_2} \quad \dots (5, 21)$$

(ii) من (٥، ٢٠) بوضع $p = 2$ نجد التباین للعملية (٢) :

$$\sigma_y^2 = \frac{\sigma_e^2}{1-\phi_1\rho_1 - \rho_2\phi_2}$$

(iii) من (١٨، ٥) بأخذ

$$\phi(B) = 1 - \phi_1 B - \phi_2 B^2$$

$$P(f) = \frac{2\sigma_e^2}{(1 - \phi_1 e^{-i2\pi f} - \phi_2 e^{-i4\pi f})(1 - \phi_1 e^{i2\pi f} - \phi_2 e^{i4\pi f})}$$

٦ ، ٥ عملية المتوسط المتحرك The Moving Average Process

رأينا في (١٢، ٥) والمناقشة التي سبقتها أنه يمكن دائمًا كتابة عملية الانحدار

الذاتي في شكل سلسلة لا متناهية في الضجة البيضاء e_t السابقة ، حيث الـ e'_s

متغيرات عشوائية مستقلة كل منها يتوسط \cdot وتباین σ_e^2 .

فإذا عربنا عن Y_t بدلالة قيم e_t حتى إبطاء q نحصل على :

$$\tilde{Y}_t = e_t + \theta'_1 e_{t-1} + \theta'_2 e_{t-2} + \dots + \theta'_q e_{t-q}$$

أو نلتزم بالعرف الجاري باستخدام إشارات سالبة :

$$\tilde{Y}_t = e_t - \theta_1 e_{t-1} - \theta_2 e_{t-2} - \dots - \theta_q e_{t-q} \dots \quad \dots \quad (5, 23)$$

حيث $\theta_j = -\theta'_j$ لكل j نصل لما يسمى عملية أو نموذج المتوسط المتحرك ذو الرتبة q ويرمز لها بـ $MA(q)$ والتي يمكن كتابتها بالشكل :

$$\begin{aligned} \tilde{Y}_t &= \theta(B)e_t \\ \theta(B) &= 1 - \theta_1 B - \theta_2 B^2 - \dots - \theta_q B^q \end{aligned}$$

حيث \tilde{Y}_t بدلالة \tilde{Y}_{t-p} عن الأنداد الذاتي ذات الرتبة p عن e_t بدلالة

قيم \tilde{Y}_t السابقة حتى إعطاء p تعبير عملية المتوسط المتحرك برتبة q عن \tilde{Y}_t بدلالة e_t السابقة حتى إعطاء q . لاحظ أن عبارة "متوسط متحرك" المستخدمة هنا لا يشير لمفهوم المتوسط المتحرك الذي مر علينا سابقاً لأن المجموع بالطرف الأيمن لا يمثل متوسطاً إذ أن مجموع الـ e'_s لا يساوي واحد ، بل أن بعضها قد يكون سالباً . انه مجرد اسم جرى العرف على استخدامه .

نلاحظ أولاً أن أي عملية متوسط متحرك مستقرة مهما كانت قيم المعالم

$\theta_1, \theta_2, \dots$ وستثبت ذلك للعملية ذات الرتبة 1 و التعميم للرتبة q مباشر .

العملية (1) يمكن كتابتها بالشكل :

$$Y_t = \mu + e_t - \theta e_{t-1}$$

حيث الـ e'_s متغيرات عشوائية مستقلة لكل منها متوسط صفر وتباعين σ_e^2

وحيث μ متوسط العملية . لإثبات الاستقرار (الضعيف) يجب أن ثبت أن كل من المتوسط ، التباين والتغير للعملية لا يعتمد على الزمن t .

أولاً : المتوسط :

$$\text{بما أن } E(e_t) = 0 \quad \text{لكل } t \quad \text{فإن}$$

$$E(Y_t) = \mu + E(e_t) + \theta E(e_{t-1}) = \mu$$

ثانياً: التباين :

بما أن ال e'_s مستقلة وتبين كل منها σ_e^2 فإن :

$$\begin{aligned} V(Y_t) &= V(e_t) + V(\theta e_{t-1}) \\ &= \sigma_e^2 + \theta^2 \sigma_e^2 \\ &= (1 + \theta^2) \sigma_e^2 \end{aligned}$$

ثالثاً: التغير :

$$\begin{aligned} Cov(Y_t, Y_{t+1}) &= Cov(\mu + e_t - \theta e_{t-1}, \mu + e_{t+1} - \theta e_t) \\ &= E(e_t - \theta e_{t-1})(e_{t+1} - \theta e_t) - E(e_t - \theta e_{t-1})E(e_{t+1} - \theta e_t) \\ &= E(e_t - \theta e_{t-1})(e_{t+1} - \theta e_t) - 0 \\ &= E(e_t e_{t+1}) - \theta E(e_t^2) - \theta E(e_{t-1} e_{t+1}) + \theta^2 E(e_{t-1} e_t) \\ &= -\theta E(e_t^2) = -\theta \sigma_e^2 \end{aligned}$$

باستخدام $E(e_j e'_{j'}) = 0$ لـ $j \neq j'$ و $E(e_j) = 0$ و μ ثابت لا يضيف للتغير.

من ناحية أخرى $Cov(Y_t, Y_{t+k}) = 0$ لأن $k \geq 2$ لن تكون هناك

$j = j'$ في المقادير من النوع $E(e_j e_{j'})$ وبالتالي ستتساوي جميعها أصفاراً.

ويمـا أن كل من المتوسط ، التباين والتغير لا يعتمد على الزمن t وهي بالتالي

جميعها ثابتة مع الزمن نستنتج أن العملية $MA(1)$ مستقرة . وتنطبق خاصية الاستقرار على عملية المتوسط المتحرك بأي رتبة . ورغم أن ذلك يتحقق مهما كانت قيم

. Inevrtability $\theta_1, \dots, \theta_q$ إلا أن هذه المعالم مقيدة بشرط القابلية للعكس

١، ٦، ٥ قابلية العكس في عملية المتوسط المتحرك

في أحيان كثيرة يكون من الأنسب التعامل مع عملية انحدار ذاتي بدلاً عن

عملية متوسط متحرك . في هذه الحالة نتساءل عما إذا كان من الممكن كتابة عملية المتوسط المتحرك في شكل عملية الانحدار ذاتي أي أن تكون e دالة في القيمة الحالية والقيم السابقة ل Y . لنرى متى يمكن تحقيق ذلك نأخذ العملية $MA(1)$:

$$\tilde{Y}_t = e_t - \theta e_{t-1} = (1 - \theta B) e_t$$

إذا كتبنا هذه المعادلة بالشكل :

$$(1 - \theta B)^{-1} \tilde{Y}_t = e_t \quad \dots \quad (5, 24)$$

واستخدمنا البديهية

$$(1 - x)^{-1} = 1 + x + x^2 + \dots$$

نجد أنه يمكن كتابة الطرف الأيسر من $(5, 24)$ بالشكل :

$$\tilde{Y}_t + \theta \tilde{Y}_{t-1} + \theta^2 \tilde{Y}_{t-2} + \theta^3 \tilde{Y}_{t-3} + \dots = e_t$$

أى أنه يمكن تحويل عملية المتوسط المتحرك لعملية الانحدار ذاتي لا نهائية الرتبة.

والم تكن $1 < |\theta|$ فإن قيم \tilde{Y}_t تعتمد على قيم \tilde{Y} السابقة بأوزان تزايد بشكل لانهائي . لتفادي ذلك وجعل هذه الحدود تتقارب نضع الشرط $|\theta| < 1$. لهذا عندما تكون $1 < |\theta|$ نقول أن عملية المتوسط المتحرك قابلة للعكس . Invertible وفي الحالة العامة ، فإن العملية

$$\tilde{Y}_t = (1 - \theta_1 B - \theta_2 B^2 - \dots - \theta_q B^q) e_t$$

تكون قابلة للعكس فقط إذا كانت جميع جذور معادلة كثيرة الحدود المميزة

$$1 - \theta_1 z - \theta_2 z^2 - \dots - \theta_q z^q = 0$$

أكبر عددياً من 1 . أى تقع جميعها خارج دائرة الوحدة .

لاحظ أنه بما أن الحدود في (B) لعملية متوسط متحرك برتبه q محدودة فليس هناك أية قيود على المعاملات θ لتصبح مستقرة ذلك، أن كل من المتوسط ، التباعين والتغيرات سيكون ثابتاً ومحدوداً. يعنى آخر عملية المتوسط المتحرك دائماً مستقرة. وبهذا نرى أنه بينما عملية الانحدار الذاتي دائماً قابلة للعكس ولكن قد تكون غير

مستقرة نرى أن عملية المتوسط المتحرك دائمًا مستقرة ولكن يمكن أن تكون غير قابلة للعكس.

٢،٦،٥ التغير الذاتي والارتباط الذاتي وطيف القوة لعملية المتوسط المتحرك
لعملية المتوسط المتحرك برتبة q :

$$\tilde{Y}_t = e_t - \theta_1 e_{t-1} - \dots - \theta_q e_{t-q}$$

التغير الذاتي بإبطاء k لهذه العملية :

$$\begin{aligned}\gamma_k &= Cov(\tilde{Y}_t, \tilde{Y}_{t-k}) \\ &= Cov[(e_t - \theta_1 e_{t-1} - \dots - \theta_q e_{t-q})(e_{t-k} - \theta_1 e_{t-k-1} - \dots - \theta_q e_{t-k-q})] \\ &= E(e_t - \theta_1 e_{t-1} - \dots - \theta_q e_{t-q})(e_{t-k} - \theta_1 e_{t-k-1} - \dots - \theta_q e_{t-k-q})\end{aligned}$$

يتذكر أن $E(e_j) = 0$ لكل j . كذلك بما أن $t - j = t - j' - k$ أي ما لم يتحقق $E(e_{t-j} e_{t-j'-k}) = 0$
وهي الحالة التي $j = j' + k$
يكون فيها $E(e_{t-j} e_{t-j'-k}) = \sigma_e^2$ فإن دالة التغير لعملية $\text{MA}(q)$

$$\begin{aligned}\gamma_k &= \sum_{j=0}^q \sum_{j'=0}^q \theta_j \theta_{j'} E(e_{t-j} e_{t-j'-k}) \\ &= \sigma_e^2 \sum_{j'=0}^{q-k} \theta_{j'} \theta_{j'+k} \quad k \leq q \quad \dots (5, 24) \\ &= 0 \quad k > q\end{aligned}$$

حيث $\theta_0 = 1$. لاحظ أن قيمة j في المجموع الأخير لا يمكن أن تتطابق مع k
لأن $j' = j + k$ وأقصى قيمة j' هي q . كذلك بما أن إشارات الـ θ سالبة
فإن حاصل الضرب $\theta_j \theta_{j+k}$ يكون سالبًا فقط في الحالة $\theta_0 \theta_k$ والتي تساوي

. لان $k = 0$. إذا وضعنا في (٥، ٢٤) نحصل على التباین للعملية

$$\gamma_0 = \sigma_e^2 \sum_{j=0}^q \theta_j^2 \quad \dots (٥, ٢٥)$$

بقسمة (٥، ٢٤) على (٥، ٢٥) نحصل على دالة الارتباط الذاتي للعملية

كما يلي : $MA(q)$

$$\rho_k = \frac{-\theta_k + \theta_1\theta_{k+1} + \theta_2\theta_{k+2} + \dots + \theta_{q-k}\theta_q}{1 + \theta_1^2 + \theta_2^2 + \dots + \theta_q^2} \quad k = 1, 2, \dots, q \dots (5.26)$$

$$= 0 \quad k > q$$

هذا يعني أن دالة الارتباط الذاتي للعملية $MA(q)$ تكون صفراء $q > k$

أو يكون لها قطع -off cut عند الإبطاء q . نقارن هذا الوضع بدالة الارتباط الذاتي الجزئي لعملية الانحدار الذاتي برتبة p والتي رأيناها (الفصل الجزئي (٣، ٥، ٣)) أن لها قطع عند $k = p$.

في العملية $MA(q)$ يتحقق :

$$\psi(B) = \theta(B)$$

$$\theta(B) = 1 - \theta_1 B - \theta_2 B^2 - \dots - \theta_q B^q \quad \text{حيث}$$

وبالتالي باستخدام (٥، ١٧) يكون طيف القوة للعملية $MA(q)$

$$P(f) = 2\sigma_e^2 \left(1 - \theta_1 e^{-i2\pi f} - \theta_2 e^{-i4\pi f} - \dots - \theta_q e^{-i2\pi q f} \right) \times \\ \left(1 - \theta_1 e^{-i2\pi f} - \theta_2 e^{-i4\pi f} - \dots - \theta_q e^{-i2\pi q f} \right)$$

$$0 \leq f \leq 0.5 \dots (٥, ٢٧)$$

مثال (٥,٣) :

لعملية المتوسط المتحرك ذات الرتبة ١ :

$$\tilde{Y}_t = e_t - \theta_1 e_{t-1} \quad |\theta_1| < 1$$

نجد من (٥,٢٥) عند $q=1$ أن التباين :

$$\begin{aligned}\gamma_k &= (\theta_0 + \theta_1^2) \sigma_e^2 \\ &= (1 + \theta_1^2) \sigma_e^2\end{aligned}$$

بما أن $\theta_0 = 1$

كذلك من (٤,٢٤) عند $q=1$ دالة التغير الذاتي :

$$\gamma_k = \begin{cases} -\theta_1 \sigma_e^2 & k=1 \\ 0 & k \geq 2 \end{cases}$$

و دالة الارتباط الذاتي (بالقسمة على التباين) :

$$\rho_k = \begin{cases} \frac{-\theta_1}{1+\theta_1^2} & k=1 \\ 0 & k \geq 2 \end{cases}$$

من (٥,٢٧) نجد عند $q=1$ أن طيف القوة للعملية $\text{MA}(1)$:

$$\begin{aligned}P(f) &= 2\sigma_e^2 \left(1 - \theta_1 e^{-i2\pi f}\right) \left(1 - \theta_1 e^{i2\pi f}\right) \\ &= 2\sigma_e^2 (1 + \theta_1^2 - \theta_1 (e^{-i2\pi f} + e^{i2\pi f}))\end{aligned}$$

$$= 2\sigma_e^2 \left(1 + \theta_1^2 - 2\theta_1 \cos 2\pi f\right) \quad 0 \leq f \leq \frac{1}{2}$$

مثال (٤,٥) : للعملية ذات الرتبة ٢ :

$$\tilde{Y}_t = e_t - \theta_1 e_{t-1} - \theta_2 e_{t-2}$$

$$\theta_1 + \theta_2 < 1$$

حيث :

$$\begin{aligned}\theta_2 - \theta_1 &< 1 \\ -1 &< \theta_2 < 1\end{aligned}$$

يمكن بطريقة مشابهة لتلك التي اتبعت في مثال (٣، ٥) إثبات أن

$$\gamma_0 = (1 + \theta_1^2 + \theta_2^2) \sigma_e^2$$

وأن دالة الارتباط الذاتي :

$$\rho_k = \begin{cases} \frac{-\theta_1(1-\theta_2)}{1+\theta_1^2+\theta_2^2} & k=1 \\ \frac{-\theta_2}{1+\theta_1^2+\theta_2^2} & k=2 \\ 0 & k>2 \end{cases}$$

أيضاً فان طيف القوة للعملية (2) :

$$P(f) = 2\sigma_e^2 (1 - \theta_1 e^{-i2\pi f} - 1 - \theta_2 e^{-i4\pi f}) (1 - \theta_1 e^{-i2\pi f} - 1 - \theta_2 e^{i4\pi f})$$

حيث $0 \leq f \leq 0.5$

٧، ٥ عملية الانحدار الذاتي والمتوسط المتحرك المختلطة

The Autoregressive -Moving Average Process

ليس هناك ما يمنع من أن تكون العملية التصادفية التي نتجت عنها السلسلة الزمنية هي خليط من عملية الانحدار ذاتي وعملية متوسط متحرك. لهذا ولإيجاد نموذج يستوعب العمليتين نلجأ لنموذج الانحدار ذاتي ومتوسط متحرك مختلط والذي يشار إليه اختصاراً بـ ARMA حيث استخدم في الرمز الحرفين الأولين لكل كلمة من الانحدار الذاتي والمتوسط المتحرك بالإنجليزية. فإذا كانت عملية الانحدار الذاتي برتبة p وعملية المتوسط المتحرك برتبة q فان النموذج يأخذ الشكل :

$$\tilde{Y}_t = \phi_1 \tilde{Y}_{t-1} + \dots + \phi_p \tilde{Y}_{t-p} + e_t - \theta_1 e_{t-1} - \dots - \theta_q e_{t-q}$$

أو بالشكل الأكثر إستخداماً :

$$(1 - \phi_1 B - \phi_2 B^2 - \dots - \phi_p B^p) \tilde{Y}_t = (1 - \theta_1 B - \theta_2 B^2 - \dots - \theta_q B^q) e_t$$

واختصاراً

$$\phi(B) \tilde{Y}_t = \theta(B) e_t \quad \dots \quad (٥, ٢٨)$$

يرمز لعملية ARMA التي بها عملية الانحدار الذاتي ذات رتبة p وعملية المتوسط المتحرك ذات رتبة q بـ $ARMA(p, q)$. العمليات $AR(p)$ و $MA(q)$ كما نري هي الحالات الخاصة $ARMA(p, 0)$ و $ARMA(0, q)$ من هذه العملية.

وبما أن الجزء الخاص بعملية الانحدار الذاتي في (٥, ٢٨) له نفس كثيرة الحدود المميزة أي $\phi_p z^p - \phi_1 z^2 - \dots - 1$ فان شرط الاستقرار للعملية $ARMA(p, q)$ يتحقق فقط إذا كانت جذور كثيرة الحدود المميزة هذه كلها أكبر من واحد . فإذا كانت جذور كثيرة الحدود المميزة هي z_j حيث $j = 1, \dots, p$ حيث يجب أن يتحقق $|z_j| < 1$ لكل j . ونذكر هنا أن مسألة الاستقرار في هذه العملية تحددها فقط عملية الانحدار الذاتي لأن عملية المتوسط المتحرك دائماً مستقرة . بالنسبة للأخرية أي عملية المتوسط المتحرك يتحقق شرط قابلية العكس فقط اذا كانت جميع جذور معادلة كثيرة الحدود المميزة في

$$\theta_q z^q - \theta_1 z^2 - \dots - 1 - \theta_1 z = 0$$

وبيّنا رأينا أن ACF في العملية $AR(p)$ لها قطع عند $k = p$ و PACF في العملية $MA(q)$ لها قطع عند $k = q$ فإن أيّاً من ACF و PACF في العملية $ARMA(p, q)$ ليس له خاصية القطع مما يعقد التعرف على غوذج $ARMA$.

١٧، ٥ التغير الذاتي ، الارتباط الذاتي ، التباين والطيف للعملية المختلطة :
اذا وضعنا العملية المختلطة (٥, ٢٨) بالشكل البديل

$$Y_t - \mu = \phi_1(Y_{t-1} - \mu) + \dots + \phi_p(Y_{t-p} - \mu) + e_t - \theta_1 e_{t-1} - \dots - \theta_q e_{t-q}$$

ثم ضربنا الطرفين في $(Y_{t-k} - \mu)$ وأخذنا التوقع نحصل على

$$\begin{aligned}\gamma_k &= \phi_1 \gamma_{k-1} + \dots + \phi_p \gamma_{k-p} + \gamma_{ye}(k) \\ &\quad - \theta_1 \gamma_{ye}(k-1) - \dots - \theta_q \gamma_{ye}(k-q)\end{aligned}\dots(5.29)$$

حيث $\gamma_{ye}(k)$ دالة التغير المقطعي Cross-Covariance Function بين y

و e ويعرف معامل التغير المقطعي عند k :

$$\begin{aligned}\gamma_{yr}(k) &= E((Y_{t-k} - \mu)e_t) - E(Y_{t-k} - \mu)E(e_t) \\ &= E[(Y_{t-k} - \mu)e_t] \dots(5.30)\end{aligned}$$

بما أن $E(e_t) = 0$

ولكن Y_{t-k} تعتمد على المزادات (e^t) حتى الزمن $t - k$ وبالتالي أحدث فيها هي e_{t-k} . وبما أن e^t مستقلة فان توقع $E(e_j e_{j'}) = 0$ متى ما كانت $j' \neq j$. وبما أنه لأي $k \geq q+1$ يكون المقدار داخل الأقواس في التغيرات المقطعة في (5.29) مساوياً أو أكبر من واحد ، وبالتالي المقدار المطروح من t (أي k) في Y_{t-k} سيكون مساوياً أو أكبر من واحد ، وبما أن ذلك يعني أن المؤشر في e_t سيختلف عن أكبر مؤشر له في Y_{t-k} فإن جميع التغيرات المقطعة في (5.29) ستكون أصفاراً ما دامت $k \geq q+1$. لهذا نستطيع أن نكتب :

$$k \geq q+1 \dots(5.31)$$

$$\begin{aligned}\gamma_k &= \phi_1 \gamma_{k-1} + \phi_2 \gamma_{k-2} + \dots + \phi_p \gamma_{k-p} \\ \text{وايضا}\end{aligned}$$

$$k \geq q+1 \dots(5.32)$$

$$\rho_k = \phi_1 \rho_{k-1} + \phi_2 \rho_{k-2} + \dots + \phi_p \rho_{k-p}$$

أى أن كل من دالة التغير الذاتي ودالة الارتباط الذاتي تحقق معادلة فروق من الرتبه k . إذا وضعنا $0 = k - p$ في (٥، ٢٩) نحصل على التباین :

$$\gamma_0 = \phi_1 \gamma_1 + \phi_2 \gamma_2 + \dots + \phi_p \gamma_p + \sigma_e^2 - \theta_1 \gamma_{ye}(-1) - \dots - \theta_q \gamma_{ye}(-q)$$

من ناحية أخرى فان طيف القوة للعملية $\text{ARMA}(p,q)$

$$p(f) = \frac{2\sigma_e^2 \theta(e^{-i2\pi f}) \theta(e^{i2\pi f})}{\phi(e^{-i2\pi f}) \phi(e^{i2\pi f})} \quad \dots (٥, ٣٣)$$

حيث رتبه كثيرة الحدود في (\cdot) و $\theta(\cdot)$ و $\phi(\cdot)$ بالترتيب .

مثال (٥، ٥)

في عملية $\text{ARMA}(1,1)$ وهى أهم عملية مختلطة أى :

$$(1 - \phi_1 B) \tilde{Y}_t = (1 - \theta_1 B) e_t \quad \dots (٥, ٣٤)$$

شرط الاستقرار هو $-1 < \theta_1 < 1$ وشرط قابلية العكس $-1 < \phi_1 < 1$.

إذا وضعنا في (٥، ٢٩) $p = q = 1$ ، $k = 0$ نحصل على

$$\gamma_0 = \phi_1 \gamma_1 + \sigma_e^2 - \theta_1 \gamma_{ye}(-1) \quad \dots (٥, ٣٥)$$

وإذا عوضنا 1 ، $k = 1$

$$\gamma_1 = \phi_1 \gamma_0 - \theta_1 \sigma_e^2$$

أيضا

$$\gamma_k = \phi_1 \gamma_{k-1} \geq 2$$

أى أن دالة التغير الذاتي تحقق مجموعة من معادلات الفروق.

إذا ضربنا (٥، ٣٤) في e_{t-1} وأخذنا التوقع

$$E(\tilde{Y}_t e_{t-1}) - \phi_1 E(\tilde{Y}_{t-1} e_{t-1}) = E(e_t e_{t-1}) - \theta_1 E(e_{t-1}^2)$$

أو

$$\gamma_{ye}(-1) - \phi_1 \sigma_e^2 = 0 - \theta_1 \sigma_e^2$$

أى

$$\gamma_{ye}(-1) = (\phi_1 - \theta_1)\sigma_e^2$$

وبتعويض هذه النتيجة في (٥, ٣٥) نحصل على

$$\gamma_0 = \phi_1 \gamma_1 + \sigma_e^2 - \theta_1(\phi_1 - \theta_1)\sigma_e^2$$

وبحل هذه المعادلة آنئاً مع

$$\gamma_1 = \phi_1 \gamma_0 - \theta_1 \sigma_e^2$$

نجد

$$\gamma_0 = \frac{(1 + \theta_1^2 - 2\theta_1\phi_1)\sigma_e^2}{1 - \phi_1^2}$$

و

$$\gamma_1 = \frac{(1 - \phi_1\theta_1)(\phi_1 - \theta_1)\sigma_e^2}{1 - \phi_1^2}$$

أيضاً

$$\gamma_k = \phi_1 \gamma_{k-1} \quad k \geq 2$$

لتكتمل بذلك دالة التغير الذاتي. وبقسمة كل تغير على التباين γ_0 نحصل

على الارتباط الذاتي بالإطاءات المختلفة. مثلاً :

$$\rho_1 = \frac{\gamma_1}{\gamma_0} = \frac{(1 - \phi_1\theta_1)(\phi_1 - \theta_1)}{1 + \theta_1^2 - 2\phi_1\theta_1}$$

وهكذا. كذلك يمكن إيجاد طيف العينة لهذه العملية بالتعريف المناسب

$$\text{لـ } \phi(B) \text{ و } \theta(B) \text{ في (٥, ٣٣).}$$

الباب السادس

منهجية بوكس - جنكينز

The Box- Jenkins Methodology

٦،١ مقدمة

في الباب الخامس تناولنا نماذج السلسل الزمنية المستقرة . وفي هذا الباب نعم النقاش ليشمل النماذج غير المستقرة.

في كتابهما الرائد (بوكس - جنكينز ١٩٧٦) استخدم بوكس وجنكينز منهجية للتنبؤ تحتوي النماذج المستقرة والنماذج غير المستقرة. وتقوم المنهجية على بناء نموذج للسلسلة الزمنية يتم الوصول إليه من خلال المرور بثلاثة مراحل وهي تحديد نوعية النموذج ، تقدير معالم النموذج الذي تم تحديده وإجراء اختبار تشخيصي للنموذج للتأكد من تمثيله للسلسلة .

٦،٢ أسرة نماذج أريما Family of ARIMA models

في الباب الخامس تعرفنا على العملية المختلطة أرما $ARMA(q,p)$ والتي هي في الواقع أسرة من النماذج يتحدد أفرادها بتحديد قيم p و q . وناقشتنا الحالات التي تكون فيها مستقرة كما تمت دراسة خصائصها عندما تكون مستقرة.

لكن هناك سلسل زمنية كثيرة لا يتحقق فيها شرط الاستقرار. وي يكن من خلالأخذ فرق برتبة مناسبة تحويلها لمستقرة. فإذا كانت لدينا عملية مختلطة $ARMA(q,p)$ غير مستقرة لكن يمكن تحويلها لمستقرة بأخذ d فرق ، فيما أن الجمع هو العملية العكسية للطرح (أخذ فرق) فيمكن أن نقول أن العملية المختلطة (غير المستقرة) يمكن الحصول عليها بجمع (أو تكامل) العملية المختلطة (المستقرة) d مرة . لهذا أطلق بوكس وجنكينز على العملية المختلطة غير المستقرة عملية المتوسط المتحرك *autoregressvie integrated* والانحدار الذاتي التكاملية (التجميعية) *moving average* . وإذا كانت رتبة عملية $ARIMA$ ورمزا لها اختصاراً بأريما

المتوسط المتحرك والانحدار الذاتي q و p بالترتيب ونحتاج لـ d فرق للاستقرار نكتب أريما بالشكل $.ARIMA(p, d, q)$.

وبدالة مشغل الإزاحة للخلف :

$$\phi(B)\nabla^d Y_t = \theta(B)e_t \quad (1) \dots$$

حيث $\nabla = 1 - B$

و واضح أن هذه الأسرة تشمل جميع النماذج التي تم تناولها بالباب الخامس إضافة لنظائرها غير المستقرة. مثلاً العملية $AR(p)$ المستقرة هي العملية $.ARIMA(p, 0, 0)$.

وتقول لنا (١, ٦) أن العملية التي ولدت السلسلة هي خليط من عملية اندثار ذاتي برتبة p و متوسط متحرك برتبة q وأنها تحتاج منا لأخذ d فرق لتصبح مستقرة.

٦,٣ مرحلة تحديد نوعية النموذج Identification

في هذه المرحلة يتم اختيار نموذج أو مجموعة من النماذج المرشحة لاختيار نموذج من بينها بحيث يكون النموذج قليل المعامل **parsimonious** بقدر الإمكان. ويكون النموذج قد تحدد إذا تحددت قيم p, q, d في $.ARIMA(p, d, q)$.

ومن أهم الأدوات التي تستخدم في التعرف على النموذج دوال الارتباط الذاتي والذاتي الجزئي والطيف. ويساعد برنامج المحاكاة **ARIMA** – الذي يقوم بتوليد سلسلة أريما بأي قيم مرغوبة للمعلم p, q و d وإبراز دوال الارتباط الذاتي والذاتي الجزئي والطيف بيانياً – في توجيه البحث عن النموذج المطلوب . إذ بمقارنة سلوك هذه الدوال في السلسلة الزمنية بالسلوك في السلالسل المولدة (والمعرف قيم p, q و d فيها) يمكن أحياناً تحديد أي النماذج أقرب لتمثيل السلسلة. كذلك فإن بعض الخصائص النظرية للعمليات والتي تعرضنا لها في الباب الخامس يمكن أن تساعدنا في تحديد النموذج الذي يتواافق مع السلسلة الزمنية المعنية.

٦،٣،١ تحديد رتبة الفرق d

إذا كانت السلسلة عشوائية أي $ARIMA(0,0,0)$ فهي مستقرة. وفي هذه الحالة فإن كل معاملات الارتباط الذاتي والذاتي الجزئي يتوقع أن تكون أصفاراً أو قريباً من الصفر. لهذا يمكن من رسم دالة الارتباط الذاتي معرفة ما إذا كانت السلسلة مستقرة. ذلك أنه إذا كانت السلسلة الزمنية مستقرة فإن معاملات الارتباط الذاتي تهبط للصفر بعد إبطاء ٢ أو ٣ على الأكثرب بينما للسلسلة غير المستقرة تكون معاملات الارتباط الذاتي مختلفة معنوياً عن الصفر بعد إبطاءات وقد يكون هناك اتجاهأً عاماً للارتباط الذاتي.

لها لتحديد قيمة d نقوم بأخذ الفرق ذو الرتبة ١،٢،... (عدد قليل من الفروق الأولى) وفي كل مرة نرسم دالة الارتباط الذاتي. ثم نقرر أن السلسلة أصبحت مستقرة (وبالتالي تتحدد قيمة d) بمجرد أن يبدأ الارتباط الذاتي الهبوط نحو الصفر بسرعة. عادة قيمة d تكون أحد الأرقام ٠،١،٢. ويكفي تقدير الارتباطات الذاتية حتى إبطاء ٢٠.

٦،٣،٢ تحديد رتبة الانحدار الذاتي p والمتوسط المتحرك q

بالاستعانة ببرنامج المحاكاة ARIMA وبعض الملاحظات النظرية في الباب الخامس يمكننا بصفة عامة تحديد قيمة p و q لعمليات الانحدار الذاتي والمتوسط المتحرك والعملية المختلطة بفحص رسم مقدرات دوال الارتباط الذاتي والارتباط الذاتي الجزئي واتخاذ القرار في ضوء القواعد الآتية :

- (i) إذا كانت دالة الارتباط الذاتي للسلسلة الزمنية (بعد إجراء d فرق عليها) تتناقص أسيأً بينما دالة الارتباط الذاتي الجزئي تهبط لصفر بعد إبطاء p نقرر أن العملية $ARIMA(p,0)$.
- (ii) إذا كانت دالة الارتباط الذاتي (بعد إجراء d فرق) تهبط لصفر بعد إبطاء q ودالة الارتباط الذاتي الجزئي تتناقص أسيأً نقرر أن العملية $ARIMA(0,d,q)$.

(iii) إذا كان كل من دالة الارتباط الذاتي والذاتي الجزئي بعد اخذ الفرق المناسب تتناقص بالتدريج فهذا مؤشر على عملية مختلطة. وقد أشار بوكس وجنكينز (1976) إلى أنه إذا كانت دالة الارتباط الذاتي تظهر تناقصاً أسيّاً أو موجات جيب متضائلة **damped sine waves** (في شكل إرتفاع وإنخفاض) بعد أول $p - q$ إبطاء ودالة الارتباط الذاتي الجزئي تظهر هذا النمط بعد أول $q - p$ إبطاء فإن العملية تحتوي عملية الانحدار ذاتي برتبة p وعملية متوسط متحرك برتبة q ، أي ARIMA(p,d,q) حيث d الفرق المأخوذ. لكن في حالة العملية المختلطة ينبغي أن نلاحظ أن الصورة عادة لا تكون واضحة وقد نضطر لتجربة عدة قيم لـ p و q .
و بما أن الحالات $1, p = 2, q = 1$ و $2, p = 1, q = 2$ هي الأهم في الواقع فستتناول خصائصها بشيء من التفصيل والسلوك المشار إليه أدناه مفترض حدوثه بعد أخذ d فرق على السلسلة.

عملية الانحدار الذاتي (ARIMA(1,d,0))

- (1) دالة الارتباط الذاتي تتناقص أسيّا.
- (2) معامل الارتباط الذاتي الجزئي بإبطاء 1 هو فقط الذي يختلف معنوياً عن الصفر.
- (3) رسم الطيف يطغى عليه الموجات ذات التكرار المنخفض.

القيم المسموح بها $\phi_1 < -1$

عملية المتوسط المتحرك (ARIMA(0,d,1))

- (1) معامل الارتباط الذاتي برتبة 1 هو فقط الذي يختلف معنوياً عن الصفر.
- (2) دالة الارتباط الذاتي تتناقص أسيّا.

(3) رسم الطيف يظهر سيطرة الموجات ذات التكرارات العالية لـ ϕ_1 موجة وسيطرة الموجات ذات التكرار المنخفضة لـ ϕ_1 سالبة .

القيم المسموح بها $\phi_1 < -1$

عملية الانحدار الذاتي (ARIMA(2,d,0))

- (1) دالة الارتباط الذاتي تظهر خليطاً من التناقص الأسّي و موجات الجيب المتضائلة.

(٢) فقط معاملات الارتباط الجزئي بإبطاء ١ و ٢ تختلف معنوياً عن الصفر.

(٣) رسم الطيف يظهر سيطرة موجات ليست هي بذات تكرارات كبيرة أو صغيرة.

$$\text{القيم المسموح بها للمعاملات : } -1 < \phi_2 < 1$$

$$\phi_1 + \phi_2 < 1$$

$$\phi_2 - \phi_1 < 1$$

عملية المتوسط المتحرك (ARIMA(٠,٤,٢))

(١) فقط معاملات الارتباط الذاتي ذات الإبطاء ١ و ٢ تختلف معنوياً عن الصفر. (٢)

دالة الارتباط الذاتي الجزئي تظهر خليطاً من الانخفاض الأسوي وموجات الجيب المتضائلة.

(٣) رسم الطيف يظهر سيطرة للموجات ذات التكرارات العالية.

$$\text{قيم المعاملات المسموح بها : } -1 < \theta_2 < 1$$

$$\theta_2 + \theta_1 < 1$$

$$\theta_2 - \theta_1 < 1$$

العملية المختلطة (ARIMA(١,٤,١))

(١) دالة الارتباط الذاتي تتناقص أسيّاً بعد الإبطاء الأول.

(٢) دالة الارتباط الذاتي الجزئي تتناقص أسيّاً بعد الإبطاء الأول.

(٣) رسم الطيف يظهر سيطرة الموجات ذات التكرارات المنخفضة.

$$\text{قيم المعاملات المسموح بها } +1 < \theta_1 < -1, \quad -1 < \phi_1 < +1.$$

في معظم الحالات لا يكون واضحًا القيم التي يتبعن إعطاؤها لـ p و q في نموذج

لتمثيل السلسلة الزمنية. أي لا يتسعى لنا الاستفادة من القواعد المذكورة أعلاه. في مثل

هذه الحالات نقوم بتجربة قيم مختلفة لها وختيار النموذج الذي يعطى أفضل نتيجة (أي أقل خطأ) عند استخدامه للتنبؤ بقيم السلسلة (المعروف)، وذلك وفق معيار معين

عادةً متوسط مربعات الخطأ MSE أو معامل التحديد R^2 .

الإصدارات الأخيرة من SPSS (مثلاً ١٧) تعطى خيار النموذج الخبير Expert الذي يقوم بهذه العملية ويختار أفضل القيم لـ p و q (وأيضاً d) نيابة عنا .

٤ . تقدير المعالم Estimation of parameters

بعد تحديد نموذج (أو مجموعة نماذج مبدئية) ، وبافتراض صحته (صحتها) تكون الخطوة أو المرحلة التالية هي تقدير المعالم $\theta_1, \theta_2, \phi_1, \phi_2, \dots$ في النموذج أو النماذج المختارة . هناك اسلوبان لذلك :

- (i) حاولةمجموعات مختلفة من قيم المعالم بالنموذج و اختيار المجموعة التي تعطي أقل متوسط مربعات خطأ . هذا الأسلوب يسمى المحاولة والخطأ trial & error .
- (ii) إختيار تقديرات مبدئية للمعلم ثم إستخدامها في طريقة تكرارية مثل خوارزمية ماركواردت Marquardt algorithm (وهي طريقة للتقدير في النماذج غير الخطية مطورة من طريقة نيوتن – قاوس للمعادلات غير الخطية .) للحصول على تقديرات محسنة . في حالة التوزيع الطبيعي يمكن إثبات أن هذه المقدرات هي مقدرات الإمكان الأكبر . وفيما يلي توضيح لكيفية إيجاد مقدرات مبدئية .

١ . ٤ . التقدير المبدئي للمعلم في عملية الانحدار الذاتي

يمكن إيجاد تقديرات مبدئية لمعاملات الانحدار الذاتي باستخدام معادلات يول – ووكر (١١ , ٥) ، التي تربط بين معاملات الانحدار الذاتي ومعاملات الارتباط الذاتي وذلك بتعويض تقديرات الارتباط الذاتي r_k في معادلات يول – ووكر ومن ثم حلها للحصول على مقدرات للـ ϕ_k .

مثال (٦ , ١)

في العملية ARIMA(١ , ٠ , ٠) $k = 1$ بوضع $ARIMA(1 , d , 0)$ نحصل على المعادلة الوحيدة

$$p_1 = \phi_1$$

وبتعويض r_1 المحسوبة من العينة بدلاً عن ρ_1 يكون التقدير المبدئي لـ ϕ_1 :

$$\hat{\phi}_1 = r_1$$

مثال (٦, ٢)

في العملية ARIMA(٢,٠,٥) نوض ٢ = k في (١٠,٥). يدنا ذلك بالمعادتين:

$$\rho_1 = \phi_1 + \phi_2 \rho_1$$

$$\rho_2 = \phi_1 \rho_1 + \phi_2$$

ويبوّضع r_1 و r_2 بدلاً عن ρ_1 و ρ_2 بالترتيب وحل المعادلتين نحصل على :

$$\hat{\phi}_1 = \frac{r_1(1-r_2)}{1-r_1^2}$$

$$\hat{\phi}_2 = \frac{r_2 - r_1^2}{1 - r_1^2}$$

٤، ٦ التقدير المبدئي للمعلم في عملية المتوسط المتحرك

لإيجاد تقدیرات مبدئیة لـ θ_1, θ_2 في عملية المتوسط التحرک تستخدم

۲۶ (۵، آی)

$$\rho_k = \begin{cases} \frac{-\theta_k + \theta_1\theta_{k+1} + \dots + \theta_{q-k}\theta_q}{1 + \theta_1^2 + \theta_2^2 + \dots + \theta_q^2} & k = 1, 2, \dots, q \\ 0 & k > q \end{cases}$$

حيث نستبدل ρ_k بـ ρ .

مثال (٦,٣)

للعملية ARIMA(p,d,q) نعموض $k=1$ و $q=1$. هذا يعطي :

$$\rho_1 = \frac{-\theta_1}{1 + \theta_1^2}$$

وباستبدال ρ_1 ب r_1 والحل نصل للمعادلة

$$\theta_1^2 r_1 + \theta_1 + r_1 = 0$$

ونختار بين جذري المعادلة الجذر الذي يقع داخل النطاق المسموح به 1 ± 1 .

مثال (٦,٤)

للعملية $(2,0,d)$ ARIMA بوضع $q=2$ و $k=1$ مساوية ل ١ ول ٢ نحصل بالترتيب

على

$$\rho_1 = \frac{-\theta_1(1-\theta_2)}{1+\theta_1^2+\theta_2^2}$$
$$\rho_2 = \frac{-\theta_2}{1+\theta_1^2+\theta_2^2}$$

وبتعويض التقديرات r_1 و r_2 بدلاً عن ρ_1 و ρ_2 نحصل على معادلتين

يمكن حلهما بالاستعانة بجدول وخرائط قدمها بوكس وجنكينز (١٩٧٦).

للعملية المختلطة $(1,1,d)$ ARIMA يمكن الحصول على تقدير مبدئي ل ϕ_1 و θ_1

باستخدام العلاقات :

$$\rho_1 = \frac{(1-\theta_1\phi_1)(\phi_1-\theta_1)}{1+\theta_1^2-2\phi_1\theta_1}$$
$$\rho_2 = \rho_1\phi_1$$

وفي كل الأحوال ، في حالة بروز مشكلة في إيجاد مقدرات مبدئية بهذه الطرق

يمكن اختيار أي تقدير بالتخمين المفرد ونترك خوارزمية ماركواردت إكمال المهمة .

٦,٥ الاختبار التشخيصي

المراحل الأخيرة بعد التعرف على النموذج وتقدير معالله هو اختباره للتأكد من

تواافقه مع البيانات ومن أنه لا يحوي معالم لا داعي لها.

أولاً يوفق النموذج على بيانات السلسلة. أى يستخدم للتنبؤ بقيم السلسلة وકأنها غير معروفة. ثانياً تحسب البواقي حيث الباقي في الزمن t , \hat{e}_t مثلاً هو الفرق بين القيمة الفعلية \hat{Y}_t والتنبؤ \hat{Y}_t من النموذج.

إذا كان النموذج ناجحاً فإن البواقي لن يتبقى فيها نمط منتظم وستكون أصفاراً أو قريباً من الصفر. وكذلك معاملات الارتباط الذاتي في المجتمع ستكون كلها غير معنوية ويمكن التتحقق من عشوائية سلسلة البواقي وبالتالي صحة النموذج بعده طرق منها :

- (1) الاستفادة من النتيجة التي تقول أنه إذا كانت السلسلة الزمنية عشوائية فإن

r_k ستتبع تقريراً للتوزيع الطبيعي بمتوسط صفر وتباعن $\frac{1}{n}$. وعليه إذا كنا نشك في أن الارتباط الذاتي بإبطاء معين k مختلف عن الصفر فيمكن اختبار معنوية وإنخاذ القرار بأنه غير معنوي إذا كانت r_k تقع في الحدود $\pm 1.96 / \sqrt{n}$ (باستخدام مستوى معنوية 5%).

وإذا كانت r_k تقع داخل الحدود لكل k نقرر أن السلسلة عشوائية والنماذج يمثل السلسلة بشكل مقبول.

- (2) اختبار أن مجموعة من معاملات الارتباط الذاتي $\rho_1, \rho_2, \dots, \rho_m$ أصفاراً باستخدام إحصائية بوكس - بيرس : **Box-Pierce**

$$Q = n' \sum_{k=1}^m r_k^2$$

والتي في حالة النماذج جيد والبواقي عشوائية وصغريرة تتبع توزيع χ^2 بدرجات حرية $S - m$ حيث m عدد معاملات الارتباط الذاتي و S عدد المعالم التي تم تقديرها في النماذج. وكذلك n' عدد المشاهدات في السلسلة مطروحاً منه رتبة الفرق d (إنأخذ الفرق).

فقارن قيمتها المشاهدة بالقيمة الخرجية بالطرف الأيمن من توزيع χ^2 بدرجات الحرية المذكورة. فإذا كانت القيمة الخرجية أكبر من قيمة Q المحسوبة نستنتج أن السلسلة الزمنية للباقي عشوائية والنموذج يتوافق مع البيانات بشكل جيد. نصل لنفس الاستنتاج إذا كانت قيمة P أكبر من مستوى المعنوية. لاحظ أن قيمة Q تكبر مع كبر معاملات الارتباط الذاتي.

كذلك يمكن لنفس الهدف استخدام إحصائية بوكس - لجنت **Box-Ljung** :

$$L = n'(n' + 2) \sum_{k=1}^m \frac{r_k^2}{n - k}$$

والتي - في حالة صحة عشوائية سلسلة الباقي - تتبع توزيع χ^2 بدرجات حرية $S - m$. نقرر العشوائية وبالتالي صحة النموذج إذا كانت القيمة المشاهدة أقل من الخرجية.

(٣) من مؤشرات العشوائية وصحة النموذج أيضاً أن رسم الطيف يظهر كل الموجات بارتفاع متساوٍ .

من ناحية أخرى يساعد فحص الأخطاء المعيارية للمعاملات المختلفة واختبار معنويتها في معرفة المعالم التي تستحق أن تبقى في النموذج. فالمعلم غير المعنوي أو الذي له خطأ معياري كبير يمكن حذفه من النموذج.

أيضاً عند مقارنة نماذجين لتحديد أيهما أفضل تمثيلاً للبيانات نلاحظ أولاً أنه إذا تساوي نماذجان من حيث تمثيل البيانات فإن الذي يحوي إبطاءات وبالتالي معالم أقل يكون الأفضل. ذلك أن زيادة عدد المعالم يعني نقص درجات الحرية . لذلك فإن أي معيار يستخدم في المفاضلة بين النماذج ينبغي أن يأخذ هذه الحقيقة في الإعتبار. ورغم توفر عده معايير لدى تمثيل النموذج للبيانات ولمقارنة النماذج إلا أن المعيارين الأكثر استخداماً وشهرة هما معيار أكايكى للمعلومات **Information Criterion (AIC)** **Schwartz Bayesian Criterion (SBC)** .

ويعرف معيار أكايكي للمعلومات :

$$AIC = T \ln(SSR) + 2n^*$$

حيث :

T : عدد المشاهدات المتاح للاستخدام.

n^* : عدد المعالم التي تم تقديرها (عادة $p + q$ مع إضافة ثابت أحياناً)

(SSR) : مجموع مربعات الباقي.

كذلك يعرف معيار شوارتز البيزى :

$$SBC = T \ln(SSR) + n^* \ln T$$

وواضح أنه كلما كانت قيمة المعيار (AIC أو SBC) صغيرة كلما كان هذا مؤشراً لنموذج أفضل. ومع تحسن توفيق النموذج تتجه قيم كل من المعيارين لـ ∞ .

وعند مقارنة نموذجين A و B لمعرفة أيهما أفضل تثلياً للبيانات تقرر أن A أفضل من B إذا كانت قيمة AIC أو SBC له أقل من تلك التي لـ B.

ومن المهم أن نلاحظ أن قيمة T يجب أن تكون متساوية في كلا النموذجين عند مقارنتهما باستخدام AIC أو SBC لأنها تؤثر في قيمتهما فمثلاً إذا كانت T في النموذج A أصغر منها في B فإن قيمة لـ AIC أو SBC أصغر للنموذج A لا تعني أن A أفضل من B لأنها قد تكون ناتجة عن الفرق في قيمة T.

٦،٦ نماذج أريما الموسمية

قد تظهر السلسلة الزمنية تأثيراً موسمياً يتكرر بطول فترة تكرار L مثلاً. فإذا نظرنا للقيم التي تبعد عن بعض L فترة زمنية كسلسلة زمنية ، فيمكن أن نتصور أن هذه السلسلة يمكن أيضاً أن تتأثر بعملية المحدار ذاتي أو عملية متوسط متتحرك أو الاثنين معاً. ويمكن تضمين كل ذلك في نموذج أريما مطور يستوعب الجانب الموسمي في السلسلة الزمنية. ويسمى وبالتالي نموذج أريما الموسمي.

يأخذ النموذج الذي تضاف إليه الموسمية الشكل :

$$ARIMA(p,d,q)(P,D,Q)^L$$

وتمثل p ، q و d رتب عملية الانحدار الذاتي ، المتوسط المتحرك والفرق في الجزء غير الموسمي من النموذج وهى التي مرت علينا سابقاً. كما تمثل P ، D و Q نظيرات هذه الرتب في الجانب الموسمي. أما L فهي طول فترة التكرار الموسمي.

مثلاً إذا كانت البيانات شهرية قد تكون $L = 12$. وتوضح هذه الصيغة أن أي مكون في الجزء غير الموسمي من النموذج له نظير في الجزء الموسمي. ولتوسيع كيفية كتابة نموذج أربما الموسمي بدلالة مشغل الإزاحة للخلف نأخذ كمثال النموذج:

$$ARIMA(1,1,1)(1,1,1)^4$$

هذا النموذج يمكن كتابته بالشكل :

$$(1 - \phi_1 B)(1 - \Phi_1 B^4)(1 - B)(1 - B^4)Y_t = (1 - \theta_1 B)(1 - \Theta_1 B^4)e_t$$

حيث :

$1 - \phi_1 B$: مشغل عملية $AR(1)$ غير الموسمية.

$1 - \Phi_1 B$: مشغل عملية $AR(1)$ الموسمية.

$1 - B$: مشغل الفرق غير الموسمي.

$1 - B^4$: مشغل الفرق الموسمية.

$1 - \theta_1 B$: مشغل عملية $MA(1)$ غير الموسمية.

$1 - \Theta_1 B^4$: مشغل عملية $MA(1)$ الموسمية.

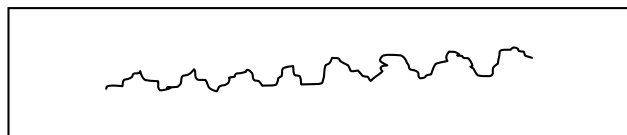
وإذا أردنا فك الأقواس نبدأ في كل طرف من أقصى اليمين ونضرب ونحو نتجه لليسار كما سنرى بعد قليل.

٦،٦ التأكد من وجود الموسمية

إذا كانت السلسلة الزمنية غير مستقرة فيجب أولاً إزالة عدم الاستقرار بأخذ فرق مناسب قبل محاولة فحص السلسلة للموسمية لأن وجود عدم الاستقرار يعقد عملية اكتشاف الموسمية.

وبعد أن تصبح السلسلة مستقرة ننظر في دالة الارتباط الذاتي ، وخاصة عند معاملات الارتباط الذاتي ذات الإبطاء الكبير (أكثر من ٢) . فإذا كانت هناك

معاملات ارتباط معنوية يكون هذا مؤشراً بوجود الموسمية مثلاً إذا كانت البيانات ربع سنوية فتوقع وجود معاملات ارتباط ذاتي معنوية عند الإبطاء ٤ ومضاعفاته كذلك فإن رسم السلسلة سيظهر موجات تتكرر بطول فترة تكرار ٤. كذلك فإن طيف القوة أو البيريودقرايم يظهران قوة موجبة كبيرة للموجات ذات الطول ٤ أو مضاعفاته. يوضح الشكل (٦،١) سلسلة بها تأثير موسمي. ويتم تحديد معالم النموذج الموسمي وتقدير معالله واختباره كما في حالة غير الموسمي.



الشكل (٦،١) سلسلة بها تأثير موسمي

٦،٧ التنبؤ باستخدام نموذج أريما

بعد التوصل لنموذج أريما يناسب السلسلة الزمنية محل الدراسة وتقدير جميع معالله والتأكد من صحته ، يمكن بعد ذلك استخدامه للتنبؤ بالقيم المستقبلية للسلسلة. ويطلب ذلك أولاً وضع النموذج في شكل نموذج الخدار بحيث يكون المتغير التابع Y_t فقط بالطرف الأيسر من المعادلة.

مثلاً لاستخدام النموذج أريما $ARIMA(1,1,1)(1,1,1)^4$ للتنبؤ نبدأ بفك

الأقواس في :

$$(1 - \phi_1 B)(1 - \Phi_1 B^4)(1 - B)(1 - B^4)Y_t = (1 - \theta_1 B)(1 - \Theta_1 B^4)e_t$$

ببدء الضرب من اليمين في كل طرف :

$$(1 - \phi_1 B)(1 - \Phi_1 B^4)(1 - B)(Y_t - Y_{t-4}) = (1 - \theta_1 B)(e_t - \Theta_1 e_{t-4})$$

$$(1 - \phi_1 B)(1 - \Phi_1 B^4)(Y_t - Y_{t-1} - Y_{t-4} + Y_{t-5}) = e_t - \theta_1 e_{t-1} - \Theta_1 Y_{t-4} + \theta_1 \Theta_1 e_{t-5}$$

وبالاستمرار على هذا المثال ونقل جميع الحدود للطرف الأيمن عدا Y_t نجد:

$$Y_t = (1 + \phi_1)Y_{t-1} - \phi_1 Y_{t-2} + (1 + \Phi_1)Y_{t-4} - (1 + \Phi_1 + \phi_1 + \phi_1 \Phi_1)Y_{t-5} \\ + (\phi_1 + \phi_1 \Phi_1)Y_{t-6} - \Phi_1 Y_{t-8} + (\Phi_1 + \phi_1 \Phi_1)Y_{t-9} - \phi_1 \Phi_1 Y_{t-10} \\ + e_t - \theta_1 e_{t-1} - \Theta e_{t-4} + \theta_1 \Theta_1 e_{t-5}$$

وللتباين m فترة للإمام نصيف (بعد استبدال جميع العالم بمقدراتها) m جمیع المؤشرات. مثلاً للتباين فترة واحدة $m = 1$ للإمام نصيف ۱ لكل المؤشرات فتصبح المعادلة :

$$Y_{t+1} = (1 - \hat{\phi}_1)Y_t + \hat{\phi}_1 Y_{t-1} + (1 + \hat{\Phi}_1)Y_{t-3} + \dots \\ + e_{t+1} - \hat{\theta}_1 e_t - \hat{\Theta}_1 e_{t-3} + \hat{\theta}_1 \hat{\Theta}_1 e_{t-4}$$

في هذه الحالة ستكون هناك بالضرورة أخطاء لم تعرف بعد (إذا كانت Y_t هي آخر قيمة في السلسلة). مثلاً في المعادلة أعلاه إذا كانت Y_t آخر مشاهدة في السلسلة الزمنية ، فيما أن Y_{t+1} لم تشاهد بعد لا يمكن معرفة e_{t+1} . لهذا عند التباين نضع جميع الـ e غير المعروفة أصفاراً.

٦،٨ استخدام الحاسوب الآلي

الإصدارات ۱۶ و ۱۷ لحزمة SPSS تتيح اختيار المنفذ الخبير expert كما ذكرنا. اختيار المنفذ الخبير لإيجاد أفضل نموذج أريما للسلسلة الزمنية يوفر للمستخدم مهمة القيام بتجربة قيم مختلفة لرتب عمليات الانحدار الذاتي والمتوسط المتحرك والفرق (الموسمية منها وغير الموسمية) إذ يقوم هو بذلك ويقدم النموذج الذي يعطي أفضل تنبؤ وفق معيار معين.

مثال (٦,١)

لنأخذ مثال الزلاجات المائية (مثال ۲,٨). عند استخدام خدمة المنفذ الخبير في حزمة SPSS (إصدار ۱۷) نجد أن أفضل نموذج أريما لهذه السلسلة هو النموذج ARIMA $(0,0,0)(0,1,0)^{12}$ أي بصورة أخرى :

$$Y_t = \mu + Y_{t-12} + e_t$$

كذلك كانت $R^2 = 0.00$ بينما متوسط مربعات الخطأ $413,22$. من ناحية أخرى كانت قيمة p لاختبار Box-Ljung وقيمة p للثابت $0,836$ و $0,773$ بالترتيب.

يعنى ذلك أن الفرق الأول الموسمي لهذه السلسلة تنتج عنه سلسلة عشوائية (ضجعة بيضاء) وأن صحة النموذج استناداً على اختبار Box-Ljung جيدة. مثال (٦,٢)

سلسلة زمنية شملت المبيعات الشهرية للألعاب الأطفال بمتجرب (جدول (٦,١)) كان النموذج الذى تم اختياره بواسطة المنفذ الخبير هو $(1,0,0)(0,1,1)^{12}$ والذى يمكن كتابته بالشكل :

$$Y_t = \phi Y_{t-1} + e_t - e_{t-12} - \Theta(e_{t-12} + e_{t-24})$$

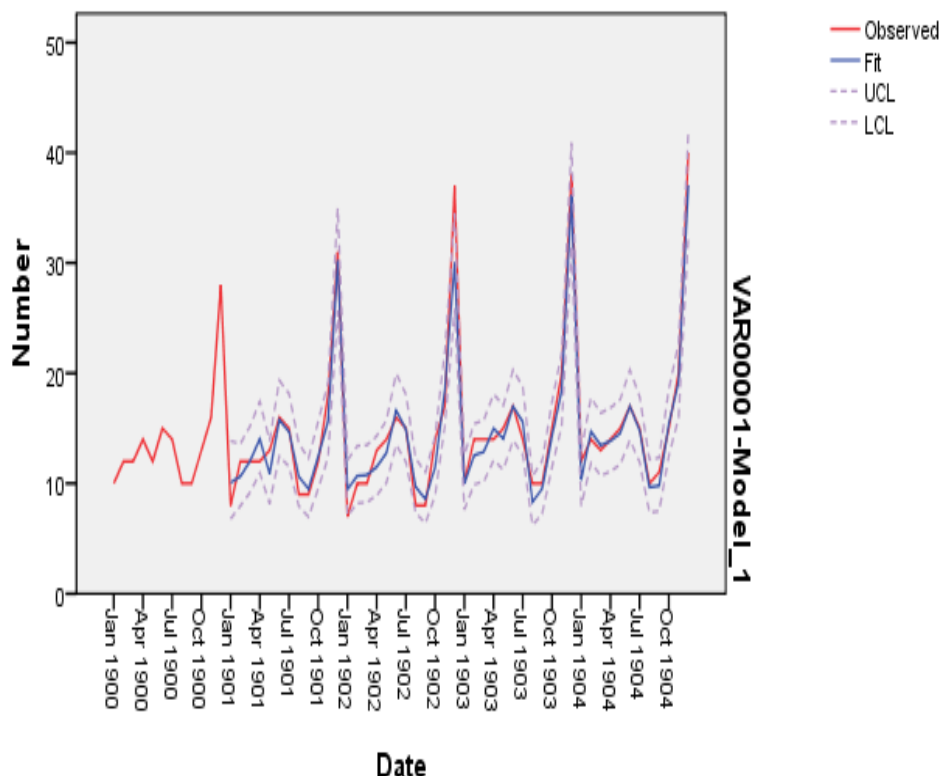
مقدرات المعالم كانت $\hat{\phi} = 0.631$ بخطأ معياري $125,0$ وهو معنوي إذ $p = 0.000$. كذلك كانت $\hat{\Theta} = 0.507$ بخطأ معياري $196,0$ وهو معنوي أيضاً بمستوى معنوية 2% لأن $p = 0.013$.

كذلك $RMSE = 1.673$ و $R^2 = .948$ ما يعنى جودة توفيق النموذج. ويدعم ذلك اختبار Box-Ljung حيث كانت قيمة $p = 0.403$ وهى كبيرة. للتنبؤ إذن تستخدم المعادلة :

$$\hat{Y}_t = 0.631Y_{t-1} + e_t - e_{t-12} - 0.507(e_{t-12} - e_{t-24})$$

وفي شكل (٦,٢) رسم للسلسلة والقيم المتنبأ بها مع فترات الثقة.

شكل (٦,٢)



السنة	الشهر	المبيعات	السنة	الشهر	المبيعات
١٩٠٠	١	١٠	١٩٠٢	٧	١٥
	٢	١٢		٨	٨
	٣	١٢		٩	٨
	٤	١٤		١٠	١٤
	٥	١٢		١١	١٧
	٦	١٥		١٢	٣٧
	٧	١٤		١	١٠

	٨	١٠		٢	١٤
	٩	١٠		٣	١٤
	١٠	١٣		٤	١٤
	١١	١٦		٥	١٥
	١٢	٢٨		٦	١٧
١٩٠١	١	٨		٧	١٤
	٢	١٢		٨	١٠
	٣	١٢		٩	١٠
	٤	١٢		١٠	١٥
	٥	١٣		١١	٢٠
	٦	١٦		١٢	٣٨
	٧	١٥		١	١٢
	٨	٩		٢	١٤
	٩	٩		٣	١٣
	١٠	١٢		٤	١٤
	١١	١٨		٥	١٥
	١٢	٣١		٦	١٧
١٩٠٢	١	٧		٧	١٥
	٢	١٠		٨	١٠
	٣	١٠		٩	١١
	٤	١٣		١٠	١٥
	٥	١٤		١١	٢٠
	٦	١٦		١٢	٤٠

جدول ٦,١

الباب السابع

نماذج أخرى متنوعة

١ ، مقدمة

في هذا الباب نستعرض بياجاز أنواع خاصة من نماذج السلسل الزمنية ، كما نتناول أيضاً مشكلة تصميم نظم التحكم للأمام والخلف ، وهو موضوع ذو أهمية فائقة في تحليل السلسل الزمنية. والمهد الأأساسي هنا هو إعطاء مقدمة موجزة لكل هذه المواضيع ليتعرف القارئ على المفاهيم الأساسية المرتبطة بها .

٢ ، نماذج الدالة التحويلية Transfer Function Models

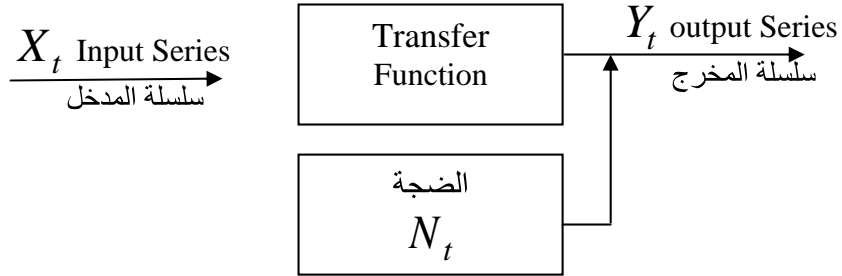
كل النماذج التي تم تناولها حتى الآن خاصة بمنفذة سلسلة زمنية واحدة مما يعني أنها نماذج وحيدة المتغير univariate models. ليس هناك ما يمنع من التعميم للحالة التي يكون لدينا فيها عدة^{*} سلسل زمنية multiple time series وبما أن الحسابات والخطوات المطلوبة في تحليل هذه النماذج باللغة التعقيد فإننا سنكتفي بالحالة الثنائية التي يكون فيها سلسلتان زمنيتان فقط.

١ ، ٢ ، ٧ تعريف الدالة التحويلية: في الدالة التحويلية الثنائية والتي سنشير إليها من الآن فصاعداً بالدالة التحويلية دون إضافة صفة الثنائية ، تكون لدينا سلسلتين زمنيتين

X_t و Y_t . السلسلة X_t تسمى سلسلة المدخل input series والسلسلة Y_t تمثل سلسلة المخرج output series. فمثلاً X_t قد تكون سلسلة زمنية تمثل الصرف على الدعاية لسلعة و Y_t السلسلة الزمنية لحجم المبيعات منها.

يفترض الآن أن X_t تؤثر على Y_t من خلال علاقة أو دالة تسمى الدالة التحويلية . وتتعرض Y_t - بالإضافة لتأثير X_t - لتأثير متغيرات أخرى غير معروفة يضمن تأثيرها كلها فيما يسمى بالضجة ويرمز له بـ N_t .

* بعض الكتاب يطلق على هذه النماذج النماذج متعددة المتغيرات Multivariate Models وعند تطبيق طرق ARIMA عليها يشار لها بـ MARIMA لكن يبدو أن من الأقرب حصر هذا المصطلح لما يسمى أحياناً سلسلة زمنية متجلة vector time series (الفصل (٧.٣))



هناك صيغتان للدالة التحويلية :

الصيغة الأولى: هذه الصيغة مفيدة في توضيح فكرة الدالة التحويلية الأساسية. وتأخذ الشكل:

$$\begin{aligned}
 Y_t &= v_0 X_t + v_1 X_{t-1} + \dots + v_k X_{t-k} + N_t \quad \dots (7, 1) \\
 &= (v_0 + v_1 B + \dots + v_k B^k) X_t + N_t \\
 &= v(B) X_t + N_t
 \end{aligned}$$

حيث :

Y_t = سلسلة المخرج (مثلاً المبيعات).

X_t = سلسلة المدخل (مثلاً الصرف على الدعاية).

N_t = الضجة.

k = رتبة الدالة التحويلية

v_1, v_2, \dots = أوزان الدالة التحويلية.

الصيغة الثانية: الصيغة الثانية يفترض فيها أنه قد تم إجراء أي فروق مطلوبة وأي تحويلات مطلوبة على السلسل N_t, Y_t, X_t لجعلها مستقرة من حيث المتوسط والتباين ، حيث يرمز للسلسل بعد التعديل بـ n_t, y_t, x_t بالترتيب. كذلك توضع الصيغة بحيث تتطلب عدداً أقل من المعامل خاصية عندما تكون k في (1, 7) كبيرة. وفق هذه الصيغة تكون الدالة التحويلية :